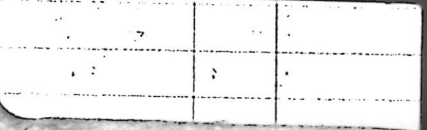


P.OF₃



POF₃ (bond distances and angles) 2788-III
1938

Brockway L.C., Beach J.Y.

J.Am.Chem.Soc. 1938, 60, 183, 6-46

"Electron diffraction investigation of the molecular structures of (1) POCl₃, POF₂Cl; POFCl₂; POF₃; PFCl₂; PF₅ and PF₃Cl₂ and of (2) disilane, trichlorosilane and hexachlorodisilane".



C.A., -1938, -7324⁶

E C T b Φ. K.

44 2316 1948
PSF₂O, PSF₂Br, PSF₂, POF₃ (mex. wcf)
Delvauille M.L., François F.

Spectre Raman des trifluorure,
difluorochlore, difluorobromure de
thiophosphoryle.

Compt. rend., 1948, 226, 894

Kelley, bull. 592, c. 253

10 1 - 1

1547-III

POF₃ (✓ i)

1949

Delwaalle M.L., François F.

International Colloquium on
Raman Effect, Bordeaux 1948;
J.Chim.phys., 1949, 46, 87-97
(in French)

Raman spectra of phosphorus
trihalides, phosphoryc trihalides,
and thiohosphoryl trihalides

CA., 1950, 44, 10510a

1566-III

1950

POF_3 (usec. c₂g₂g₂g₂)

Senatore S.J.

Phys. Rev., 1950, 78, 293-294

Microwave absorption spectra of
 POF_3 .

CA., 1950, 44, 6724e

10

POF₃

(cnewg)

BP - 5064-19 | 1951

Johnson, C. M.,
Tranbarcelo R.,
Gordy W.

Phys. Rev., 1951, 84(6),
1178-80

POF₃

W. Gordy

1952

Am. N.Y. Acad. Sci. 55,
774-88

M. b. cnekiensis PF, NF₃
POF₃, YCN, HCN.

CA, 1953, 31156.

1953

POFs

S. Ghosh, R. Tramborelo

W. Gordy

J. Ch. ph 21, 308

M. B. Chekmp.

1550-11

ω (PF_3 , POF_3 , PF_5)

1952

Gutowsky H.S., Liehr A.D.

J. Chem. Phys. 1952, 20, 1652-3

"Infrared spectra of phosphorus trifluoride, phosphorus oxyfluoride, and phosphorus pentafluoride.

C.A., 1952, 10896g

10

1564-III

1952

POF₃ (2p-0; 2p-F)

PSF₃ (2p-3; 2p-F)

Hawkins R.J., Cohen V.H., Koski A.S.
J. Chem. Phys. 1952, 20, 528

"microwave spectra of POF₃ and
PSF₃"

C.A., 1952, 8968b

10

1568-10

POF_3 (d_{po} ; d_{pf} ; $\angle \text{FPF}$)

1952

Williams Q., Sheridan J., Gordy W.
J. Chem. Phys. 1952, 20, 164-7

"Microwave spectra and molecular
structures of phosphorus oxyfluoride,
phosphorus thiofluoride, phosphorus
oxychloride, and phosphorus
thiocloride".

C.A., 1952, 6489f

10

1563-III

1957

OPF₃, CF₃H, SiF₃H, CF₃Cl (B₀, D_j, D_{jK})

Burrus C.A., Gordy W.,

J.Chem.Phys., 1957, 26, N 2,
391-394 (англ.)

Спектры некоторых молекул типа
симметричного волчка в диапазоне
длин волн 1-4

РХ., 1957, № 16,
53692

10

1548-III

POF₃ (f)

1961

Loyenette L.

J. Chim. phys. et phys.-chim. biol.
1961, 23, N 5, 487-494 (gazette)

Etude du champ de force de
quelques halogénures et oxyhalogénures
de phosphore et détermination des
moments dipolaires et des charges
effectives des liaisons de la
molécule d'oxychlorure de phosphore.

ca., 1962, 6 109

-10-

Bsp-10003-III

1961.

POCl₃

Liauw L.S., Piotrowski E. et al.

PSCl₃

POF₃

J. Chem. Phys., 1961, 34, N 4,

PSF₃

1087 - 1093.

закони

Наряджано - Розпоряджене

Мін. осв.

Ради енергетики та землеробства

М. г.

Про вимірювання в ЕС-ЕС
росупутникового, звукового
звуку та звукових звуків.

ст. I.

 2942-III

1962

POF₃, POCl₃, POBr₃, PSF₃,

PSCL₃, PBr₃ (*Wi, nepnognanu. gs-yeo
cneobue noot.*)

Nagarajan G.

J.Scient.and Industr.Res., 1962, B21,
356-359 (*ansu*)

Potential constants and ...

PX., 1964, 145152

VOF_3 3 (V)

POF_3

VII 388 1966

Selig H., Claassen H. H.

J. Chem. Phys., 1966, 44, N 4, 1404-1406
(Review)

Infrared spectra of VOF_3 and
 POF_3 .

POF_3 .

10 (GP)

Perkin, 1966, 20597

ONF, ONCl, ONBr, NSF, NSF₃, OPF₃, 1984
FClO₃, BF₃, BCl₃, BBr₃, BCl₃ (con. noes)

Sawodny W., Fadini A., v 6710.

Ball ein K., Can. Dep. Energy
Mines Resour., Mines Br. In-
form. Circ., 1987, № 197, 17pp.

10

(CP)

Баренц
L-Gax 56earz

POF_3 , VOF_3 (ppm, g-uu) 1968

Nigerian G., Mueller A. 2784
Z. Phys. Chem. (Leipzig), 1968, 237(5-6)

Mean amplitudes of phosphoryl, di-
phosphoryl, and vanadyl borilides
and of thionite diide, chloride,
and trioxide bromide. Thermody-

VII-3417

1969

POF₃

16 Б45. Силовые постоянные типа симметрии E для молекул POF_3 , PSF_3 , VOF_3 и ClO_3F . Hoskins L. C. E-species force constants for POF_3 , PSF_3 , VOF_3 , and ClO_3F . «J. Chem. Phys.», 1969, 50, № 3, 1130—1133 (англ.)

сил. пост.

Постоянныe Кориолиса молекул POF_3 , PSF_3 , VOF_3 , ClO_3F вычислены по ф-ле, связывающей эти постоянные с разностью частот P - и R -ветвей $\Delta\nu_{P-R}$. Три постоянные ξ_4 , ξ_5 , ξ_6 связаны между собой правилом сумм. Поэтому 6 силовых постоянных в координатах симметрии типа E каждой молекулы определялись по трем частотам колебаний и двум независимым значениям ξ . Для каждой молекулы построены кривые зависимости пяти силовых постоянных от силовой постоянной F_{56} . Ее резко

X. 1969.

16

+3

☒

кивания между двумя четвертичными атомами углерода. Из приравнивания нулю пр-ной $dE_s/d\delta_i$ определяется численное значение $dR/dr = -36$ кал·моль⁻¹А⁻¹. Равновесное значение R равно 9 ккал. По этим данным построена экспоненциальная функция $R(r)$. С этой функцией по известным геометрич. параметрам и силовым постоянным вычислены значения R и E_s для пяти ароматич. о-ди-трет-Cl—O является в большей степени двойной связью.

М. А. Ковнер

POF₃
3

VII-3414

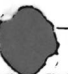
1969

9 Д116. Силовые постоянные *E*-типа для молекул POF₃, PSF₃, VOF₃ и ClO₃F. Hoskins L. C. *E-species force constants for POF₃, PSF₃, VOF₃, and ClO₃F.* «J. Chem. Phys.», 1969, 50, № 3, 1130—1133 (англ.)

С использованием эксперим. значений колебательных частот и постоянных кориолисовой связи колебания с вращением проведен расчет силовых постоянных *E*-типа для молекул POF₃, PSF₃, VOF₃ и ClO₃F. Расчеты показывают, что для этих молекул $F_{44} > F_{66} > F_{55}$ и все недиагональные силовые постоянные отрицательны, за исключением F_{45} для VOF₃. Результаты обсуждаются.
B. A. Морозов

сил. час.

9 · 1969 · 9 Я



+3



POF_3

1969

Zojiko M.S.,
Beers V.

sp. noctu.

Y. Res. Nat. Bees. Stand.

A 43, n. 2, 233.

(Acc. H_2O) III

PF_3 , POF_3 , PSF_3 (cua. mcf.) 13 1969

Ramaswamy K., Rao B.K. XII 530.

Z. Phys. Chem. (Leipzig) 1969, 240(1-2), 127-31

Molecular compounds of some phos-
phorus-halogen compounds.

10

6

O

CA, 1969, 21, W4, N257c

POF₃

met. u.
pacet

Ramaswamy K.
Rao B. K.

1969

Z. phys. Chem. (DDR),
242 (3-4), 155.

(all. PBr_3) III

POF₃

касед.
спектр

XIII - 1443

1969

10 Б277. Колебательные спектры оксигалогенидов фосфора POX_3 и их аналогов с O^{18} . Шляпочкин-ков В. А., Струков О. Г., Дубов С. С., Шитов Л. Н. «Ж. неорг. химии», 1969, 14, № 11, 2913—2916

Изучены колебательные спектры оксигалогенидов фосфора POX_3 ($\text{X}=\text{F}, \text{Cl}, \text{Br}$) и их изотопозамещ. с O^{18} . Показано, что замена O^{16} на O^{18} приводит только к изменению частоты вал. кол. РО (\sim на 40 см^{-1}). Методом валентного силового поля произведен теоретич. анализ колебаний молекул POX_3 . Проведено сопоставление силовых постоянных связей РО и РХ с энергией диссоциации и порядком связи. Г. Коган

+2

X. 1970

10



РОГ
3

XIII - 1443

1969

3 Д178. Колебательные спектры оксигалогенидов фосфора POX_3 и их аналогов с O^{18} . Шляпочкин-
ков В. А., Струков О. Г., Дубов С. С., Шитов Л. Н. «Л. Неорганический химии», 1969, № 14,
2913–2916

Получены и исследованы колебательные комбинационные и ИК-спектры оксигалогенидов фосфора POX_3 (где $\text{X}=\text{F}, \text{Cl}, \text{Br}$) и их аналогов с O^{18} . Показано, что замена в этих молекулах O^{16} на O^{18} приводит к существенному (40 см^{-1}) изменению лишь частоты валентного колебания РО. На основании полученных данных проведен теоретич. анализ колебаний молекул POX_3 . Определено силовое поле, вычислены формы колебаний и частные производные от частоты по силовым параметрам. Приближенно оценены энергия диссоциации и порядок связей РО и RX.

Резюме

09. 1970. 30

11903

M.N. (ONF_3 , SPF_3 , CPCl_3 , ClSnBr_3 ,
 BrSnCl_3 , POF_3 , POCl_3 , POBr_3). 13 14
 Venkateswarlu K., Joseph P.S., Rudra-
 warier M.K., Mathew M.P. XIII 1282
 Indian J. Pure and Appl. Phys.,
 1969, I, 14, 278-280 (airav).

Generalized mean square amplitudes
 and Coriolis coupling constants of
 some XY₃ type molecules
 Parkur, 1970, 6566

10

PF₃O

1870

2Д146. Теоретическое и экспериментальное исследование электронного строения PF_3O и свойств PF_3 как лиганда. Bassett P. J., Lloyd D. R., Hillier G. H., Saunders V. R. A theoretical and experimental study of the electronic structure of PF_3O and the ligand properties of PF_3 . «Chem. Phys. Lett.», 1970, 6, № 4, 253—254 (англ.)

*Электр.
строение
(9)*

Неэмпирическим методом МО ЛКАО ССП в базисе орбиталей слейтеровского типа, представленных в виде линейных комбинаций гауссовых ф-ций исследовано электронное строение PF_3 (I) и PF_3O (II) и экспериментально измерены их вертикальные потенциалы ионизации (ПИ). Первый ПИ для II обусловлен ионизацией орбитали симметрии e_1 , вакантной в I; остальные отвечают занятым в I орбиталям. Образование связи Р—О понижает энергию неподеленной электронной пары в I

+1 / Сер. та же

[PF_3O]

09. 10. 21.

275

[X]

$\Delta E = 3,4$ эв, тогда как понижение энергий остальных орбиталей составляет 1—2 эв. Подробно проанализированы зарядовые распределения в рассматриваемых молекулах. Наблюдаемое экспериментально уменьшение длины связи Р—F и увеличение валентного угла F—P—F при переходе от I к II объяснено делокализацией неподеленной электронной пары атома Р на атом О.

В. Л. Лебедев

PF₃O

macrurus

♂₁

Hillier J. H.

1970

Saunders T. R.

Chees. Courvois, N 18,
1183.

(au. ClO₂⁻) III

1970

OPF₃

1 Д280. Силовые постоянные Юри—Брэдли оксидов фосфора и их производных. King S. T., Nyquist R. A. The Urey—Bradley force constants of phosphorus oxyhalides and their derivatives. «Spectrochim. acta», 1970, A26, № 7, 1481—1487 (англ.)

Из литературных данных о частотах основных колебаний молекул OPX_3 , OPXY_2 ($X, Y = \text{F}, \text{Cl}, \text{Br}$), $(\text{CH}_3)_3\text{PO}$ и ионов $(\text{CH}_3)_2\text{PO}_2^-$, $\text{CH}_3\text{PO}_3^{2-}$ вычислен набор силовых постоянных поля Юри—Брэдли, удовлетворительно описывающий колебательные спектры этих соединений и ряда их производных. М. Р. Алиев

Авт. пост.

+4

окт. 1971

IR

X

OPF₃

(CH₃)PO

OPCl₃

(CH₃)PO⁻

OPBr₃

CH₃PO₃²⁻

OPF₂, OPDF₂

OPF₂H₂, OPBr₂H₂

OPCl₂H₂

OPBr₂Cl₂

OPF₃

1970

ТБ233. Силовое поле Юри—Бредли оксигалогенидов фосфора и их производных. King S. T., Nyquist R. A. The Urey-Bradley force constants of phosphorus oxyhalides and their derivatives. «Spectrochim. acta», 1970, A 26, № 7, 1481—1487 (англ.)

Используя эксперим. данные по частотам колебаний OPX_3 , OPXY_2 (X и $Y = \text{F}$, Cl или Br) Me_2PO_2^- , MePO_3^{2-} и МезPO . Уточнен ряд силовых постоянных поля Юри — Бредли. Полученные величины могут быть использованы как основа для расчета частот колебаний других родственных молекул.

Е. Матросов

Син. н.

X. 1971. 1

OPX₃
3

1970

82180c Urey-Bradley force constants of phosphorus oxy-halides and their derivatives. King, Shih-Tung; Nyquist, R. A. (Chem. Phys. Res. Lab., Dow Chem. Co., Midland, Mich.). *Spectrochim. Acta, Part A* 1970, 26(7), 1481-7 (Eng). A set of Urey-Bradley force consts. was refined from the obsd. vibrational frequencies of OPX₃, OPXY₂ (where X and Y are F, Cl, and Br atoms), MePO₂⁻, MePO₃²⁻ and Me₃PO. These force consts. can be used as a basic set to calc. the vibrational spectra of other related mols.

RCSQ

cecel. n.

V:

C.I. 1970 73.16

OPF_3

1971

11 Д135. Неэмпирический расчет молекулы фосфорилфторида OPF_3 методом МО ЛКАО ССП. Absag Ilyas, Van Wazer John R. An ab initio LCAO—MO—SCF study of the phosphoryl molecule, OPF_3 . «J. Phys. Chem.», 1971, 75, № 10, 1360—1365 (англ.)

Неэмпирическим методом МО ЛКАО ССП рассчитаны энергии MO, дипольный момент и атомные заряды молекулы OPF_3 , имеющей симметрию C_{3v} . Для описания 25 заполненных MO выбран базис из 70 АО типа (841/52/52), где цифры по порядку обозначают оптимизирован-

расчет
Ei

Ф. 1971.112

ные $1s$, $2p$, $3d$ экспоненты АО гауссова типа фосфора, $1s$ и $2p$ экспоненты каждого из трех атомов фтора, $1s$ и $2p$ экспоненты атома кислорода. Полная энергия молекулы —710,5867 эв (без учета $3d$ орбитали фосфора —710,0193 эв), дипольный момент 2,00 ед. Дебая (эксперимент 1,77 ед. Дебая), полная заселенность связи Р—О 1,34, связи Р—F 0,67. Приведены карты распределения электронной плотности валентных орбиталей. Результаты неэмпирич. расчета сравнены с расчетом по методу ППДП, для которого получены более низкие значения энергий MO, энергия связи —14,40 эв, дипольный момент 2,29 ед. Дебая.

М. М. Беренфельд

1971

POF₃

21 Б29. Неэмпирическое исследование молекулы фосфорилфторида OPF_3 методом МО ЛКАО ССП. Ab initio
 Illyas, Van Wazer John R. An Ab initio
 LCAO-MO-SCF study of the phosphoryl molecule, OPF_3 .
 «J. Phys. Chem.», 1971, 75, № 10, 1360—1365 (англ.)

Проведен расчет POF_3 в трех вариантах: полным методом Рутана без учета и с включением 3d-АО фосфора (1а и 1б) и методом ППДП (2). В расчетах 1а и 1б использован базис гауссовых функций: 8s4p или 8s4p1d для P и 5s2p для атомов O и F с экспонентами в разложениях ГФ для s- и p-АО P, оптимизированными по энергии атома и экспонентой ГФ для 3d-АО 0,36, оптимизированной по расчетам PH_3 и PH_3O . Приведены значения полной энергии и энергии отдельных МО. В расчетах 1а и 1б добавление 3d-АО P понижает полную энергию на 0,57 а. ед., что указывает на заметную роль этих АО в молекуле. Вместе с тем повышаются энергии

расчет

X.1971.21

внутренних MO, соотв-щих 1s- и 2s-AO F и понижаются энергии 1s-AO F и O, что можно рассматривать, как следствие смещения электронов от F и O к P. Расчет 2 приводит к более низким энергиям MO, в частности — к отриц. энергии первой виртуальной MO. Вычисленные заряды на атомах составляют в вариантах 1a, 1б и 2, соотв., P: +1,62, +0,63 и +0,83; O: -0,66, -0,34 и -0,29 и F: -0,32, -0,09 и -0,18. Заселенность перекрывания возрастает при переходе от 1a к 1б от 0,67 до 1,34 для P—O и от 0,37 до 0,67 для P—F. Дипольный

момент равен по расчету 1a: $2,05 D$, 1б: $2,00 D$ и 2: $2,29 D$ (опыт $1,77 D$). Авторы подчеркивают, что заряд на атоме O всегда больше, чем на атомах F. Приведены рельефные карты электронной плотности для молекулы в целом и для разности результатов расчетов 1a и 1б и карты для всех MO, составленных из валентных AO атомов, а также данные по заселеностям AO и перекрываниям в отдельных MO с указанием основных вкладов в эти MO.

М. Дяткина

1971

 POF_3

17 Б24. Применение приближений метода МО ЛКАО для изучения электронного строения некоторых соединений фосфора и азота. Choplín François, Kaufmann Gérard. Application de méthodes LCAO MO approchées à l'étude de la structures électronique de quelques composés du phosphore et de l'azote. «Bull. Soc. chim. France», 1971, № 2, 387—390, XIII (франц.; рез. англ.)

Электронное строение POF_3 , POCl_3 , $\text{PO}(\text{CH}_3)_3$ исследовано в двух вариантах метода МО ЛКАО: полуэмпир. методом Бальхаузена и Грея и приближенным методом Хилььера (РЖХим, 1969, 19Б46). Изучено электронное распределение в молекулах и природа связи Р—О, показана важность участия *d*-орбиталей фосфора в этой связи.

По резюме

X. 1971. 17



+2

IX

A_3PO

1844

Frost D. C., et al.

(y)

J. Amer. Chem. Soc,

1941, 63, n^o 7, 1536.

ammonia.

acetyl

(Cet. A_3NO)III

1941

PH₃O

Heller J. H.,
Saunders R.

ib. ex.
pacem

J. Chem. Soc.,
t, 1941, 4, 664.



(Cet. B-P-K) III

(68881w) Molecular structures of phosphoryl fluoride, phosphoryl chloride, and thiophosphoryl chloride studied by gas electron diffraction. Kuchitsu, Kozo; Moritani, Tohei; Morino, Yonezo (Fac. Sci., Univ. Tokyo, Tokyo, Japan). *Inorg. Chem.* 1971, 10(2), 344-50 (Eng). The bond lengths and angles for POF_3 , POCl_3 , and PSCl_3 have been detd. by gas electron diffraction to be $r_0(\text{P}-\text{F}) = 1.524 \pm 0.003 \text{ \AA}$, $r_0(\text{P}-\text{O}) = 1.435 \pm 0.006 \text{ \AA}$, and $\theta_\alpha(\text{F}-\text{P}-\text{F}) = 101.3 \pm 0.2^\circ$ for POF_3 ; $r_0(\text{P}-\text{Cl}) = 1.993 \pm 0.003 \text{ \AA}$, $r_0(\text{P}-\text{O}) = 1.448 \pm 0.005 \text{ \AA}$, and $\theta_\alpha(\text{Cl}-\text{P}-\text{Cl}) = 103.3 \pm 0.2^\circ$ for POCl_3 ; and $r_0(\text{P}-\text{Cl}) = 2.001 \pm 0.003 \text{ \AA}$, $r_0(\text{P}-\text{S}) = 1.885 \pm 0.005 \text{ \AA}$, and $\theta_\alpha(\text{Cl}-\text{P}-\text{Cl}) = 101.8 \pm 0.2^\circ$ for PSCl_3 . The uncertainties represent estd. limits of exptl. error. For each mol. the structure is consistent with the corresponding rotational constant B_0 . The obsd. bond lengths and angles for these mols. are compared with one another and with those for related mols. The systematic differences can be accounted for in terms of the Gillespie model. Smooth correlation curves between the bond lengths or angles in PXY_3 and the electronegativities of the atoms coordinated to the P atom are obtained.

RCHH

C.A. 1971. 44. 14

(+2) □

$\text{POF}_3(2)$ [Om. 22605] 1971.

Ngai L.H., Stafford F.E.,

et al., Adv. High. Temp. Chem.,

KP. 1971, 3, 213-270.

OPF₃

XIII - 882

1971

(10193c) Ab initio LCAO-MO-SCF study of the phosphoryl fluoride molecule, OPF₃. Van Wazer, John R.; Absar, Ilyas (Dep. Chem., Vanderbilt Univ., Nashville, Tenn.). *J. Phys. Chem.* 1971, 75(10), 1360-5 (Eng). Ab initio LCAO-MO-SCF calcns. have been carried out on OPF₃ by using a Gaussian basis set consisting of 8 s and 4 p atom-optimized exponents (with and without an added d exponent) to describe the P, with 5 s and 2 p atom-optimized exponents to describe the O as well as each of the 3 F atoms. In addn., a complete neglect of differential overlap calcn. has also been done for this mol., and the resulting orbital energies have been compared to the ab initio values. The effect of allowing d character in this mol. is examd. in detail. Three-dimensional electron-d. plots are presented for the valence orbitals in a plane contg. the P, the O, and 1 of the F atoms.

C.I. 1971.45.2

$S\text{PF}_3$, $S\text{BCl}_3$, $S\text{PBr}_3$, $\underline{\text{OSF}_3}$ (paerem) 1971
m.n.) 13

Venkateswarlu K., Joseph P.A., 13

Indian J. Pure and Appl. Phys., 1595
1971, 9, N4, 235 - 236 (ann.)

Centrifugal distortion constants
of some ZXY_3 type molecules.

BicPhys, 1972, 1D215

10

g

OPF₃

Absar Ilyas, Van
Wazer John R.

1972

(U.N., D.) "J. Amer. Chem. Soc", 1972,
94, N18, 6294_x-6297.

(c.c. PF₂H, III)

POF_3

1972

Horn H.G.

"Chem.-Ztg", 1972, 96, № I2, 666-675.

фото-
электр.
спектр

(all P_2F_4 ; III)

POF₃

1973

Hargittai Istvan Mijlhoff Frans.

"J.Mol, Struct."

I973, I6, NI, 69-77.

(cet. SOF₂; III)

ClOF_3 ; PF_3 ; SO_2F_2 ; P_2Cl_3 ; $\text{X}^1 3790$) 1973
 PBr_3 ; PF_3 ; PI_3 ; NH_3 ; PH_3 ; (струкины)
 ASH_3 ; SBH_3

Hargittai I., Mijlhoff F.C.,

Chem. Weekbl., 1973, 69, N^o 7, 3-10
(Neth.)

Prediction of molecular structure.

9

HO



○

CA, 1973, 79, N^o 22, 129450g

1973

P(0)F₃

Лашау М.А., и др.,

Изв. АН СССР, Сер. хим.

1973, III, 2486-2490.

пакет
запись
исследование

(пер. P-O-C-H, III)

POF₃

3

XI-4256

1974

2 Д382. Спектры комбинационного рассеяния паров, анализ контуров полос, кориолисовы постоянные, силовые константы и термодинамические функции молекул типа симметричного волчка POF₃, POCl₃, VOF₃, VOCl₃, PSCl₃ и FCIO₃. Clark Robin J. H., Rippert David M. The vapour phase Raman spectra, Raman band contour analyses, Coriolis constants, force constants, and values for thermodynamic functions of the symmetric top molecules POF₃, POCl₃, VOF₃, VOCl₃, PSCl₃ and FCIO₃. «Mol. Phys.», 1974, 28, № 2, 305—319 (англ.)

Получены спектры комб. рас. паров соединений POF₃, POCl₃, VOF₃, VOCl₃, PSCl₃ и FCIO₃ при т-рах 22—230° С. Приведены спектры. Расщепление полносимметричных полос связано с проявлением горячих переходов и нали-

Ф. 1975. №

+5



чием разных изотопов Cl. Изучены контуры полос дважды вырожденных колебаний. Сравнением рассчитанных контуров с огибающей неразрешенной на опыте полосы уточнены колебательные частоты и найдены константы кориолисова взаимодействия ζ_i . Вращательные постоянные вычислены из геометрии молекул. Значения ζ_i удовлетворяют правилу сумм и согласуются с данными ИК-спектроскопии. Для соединений хлора анализ осложнен присутствием различных изотопов Cl и наложением горячих переходов. Величины ζ_i использованы при расчетах элементов G -матриц совокупностей вырожденных колебаний. В приближении жесткого ротора и гармонич. осциллятора вычислены термодинамич. функции.

Библ. 30.

POF₃

XI-4256

1974

Cod. no CM

M. n.

M. g. gp.



(+6 Tg gp)

(+5) 8

9563m Vapor phase Raman spectra, Raman band contour analyses, Coriolis constants, force constants, and thermodynamic functions of symmetric top molecules phosphoryl fluoride, phosphoryl chloride, trifluorooxovanadium, trichlorooxovanadium, thiophosphoryl chloride, and fluorine chlorate. Clark, Robin J. H.; Rippon, David M. (Christopher Ingold Lab., Univ. Coll., London, Engl.). *Mol. Phys.* 1974, 28(2), 305-19 (Eng). The Raman spectra of the title compds. were obsd. in sealed tubes at 22-230° and the fundamentals were assigned. Raman band contours of the e-species fundamentals were analyzed and Coriolis and force consts. were calcd. The Coriolis consts. were compared with those detd. from ir data. Thermodyn. functions detd. using the new fundamentals were compared with those based on recent structural parameters.

PSCl₃, FClO₃,

POCl₃, POF₃, POCl₃,

C.A. 1975. 82 N2

1968

OPF₃

5 Б178. Средние амплитуды колебаний фосфорил-, диофосфорил- и ванадийокситригалогенидов, а также триоксихлорида рения и триоксибромида рения. Термодинамические функции фосфорилтрифторида и окситрифторида ванадия. Nagaajan G. Mittlere Schwingungsamplituden von Phosphoryl-, Thiophosphoryl- und Vanadinoxylhalogeniden sowie von Rheniumtrioxidchlorid und Rheniumtrioxidbromid. Thermodynamische Funktionen von Phosphoryltrifluorid und Vanadinoxyltrifluorid. «Z. phys. Chem.» (DDR), 1968, 237, № 5—6, 297—304 (нем.)

Вычислены средние амплитуды колебаний при 298° К молекул типа ZXY₃ с симметрией C_{3v} по методу Цивина (Cyvin, S. J.: Spectrochim. Acta 15 (1959) 823). Определены термодинамические функции OPF₃ и OVF₃ в диапазоне т-р 200 < T° (К) < 2000, принимая модель жесткого ротора и гармонического осциллятора. Ю. Ш. М.

x · 1969 · 5

40426.6623

OPF₃

1974

TR., Ch., Ph.

cur. nro. 54969

0315-4646

Bysel Hans, Hermann, Lehmann Walter J.,
 Lucas Kai, Müller Achim, Schmidt Karl-
 heinz. Die Anwendbarkeit verschiedener
 Näherungsmethoden zur Berechnung von
 Kraftkonstanten bei Säkulargleichungen
 der Ordnung $n > 2$. "Z. Naturforsch.",
 1974, 29a, N 2, 332-337

(нем., рез. англ.)

076 078 092 0400 ИЖ ВИНИТИ

OPF_3

X-45-6583

1974

SPF_3

XIII-2494

K.B. MELX.
partem

141072j Bonding in phosphorus oxyfluoride and phosphorus thiofluoride. Ab initio SCF LCAO MO study. Serafini, A.; Labarre, J. F. (Lab. Chim. Coord., CNRS, Toulouse, Fr.). *Chem. Phys. Lett.* 1974, 27(3), 430-2 (Eng). A comparison of the electronic structures of the mols. OPF_3 and SPF_3 is performed within the framework of an ab initio SCF LCAO MO study. In complete agreement with the empirical assumptions provided by previous magneto-optical expts., the (P-S) bond in SPF_3 is weaker, endowed with a higher π character and less polar than the (P-O) bond in OPF_3 .

(+1)

C. A. 1974. 81 n 22

1974

OPF₃

*4 - 6583

SPF₃

XIII - 2494

6 Б32. Связывание в оксифториде фосфора и тиофториде фосфора. Неэмпирические расчеты методом MO ЛКАО ССП. Serafini A., Labarre J.-F. Bonding in phosphorus oxyfluoride and phosphorus thiofluoride. An ab initio SCF LCAO MO study. «Chem. Phys. Lett.», 1974, 27, № 3, 430—432 (англ.)

Изучено электронное строение основного состояния молекул OPF₃ (I) и SPF₃ (II) при эксперим. геометрии. Расчеты проведены неэмпирич. методом MO ЛКАО ССП в базисе ГФ: 12s, 9p, 1d для P и S, 10s, 6p для F и O.

Д. Смирнов
Основ. сообр.

ж. 1975. № 6



Эти функции были сгруппированы в базис, примерно соответствующий двухэкспонентному. Представлены орбитальные и полные энергии, а также результаты анализа заселенностей. Заряды на атомах Р равны 1,50 в I и 1,37 в II, а на атомах О и S соотв. —0,48 и —0,39. Перенос заряда (по сравнению с PF_3) составляет $1,02e$ ($\text{P}\rightarrow\text{O}$, σ) и $0,52e$ ($\text{O}\rightarrow\text{P}$, π) для I, $0,94e$ ($\text{P}\rightarrow\text{S}, \sigma$) и $0,66e$ ($\text{S}\rightarrow\text{P}, \pi$) для II. Заселенности перекрывания связей P—O 1,16 ($0,52\sigma+0,64\pi$), P—S 0,89 ($0,27\sigma+0,62\pi$). Основные вклады в заселенности перекрывания вносят $r\sigma-r\sigma$ -, $r\pi-r\pi$ - и $r\pi-d\pi$ -взаимодействия. Т. обр. расчет показывает, что связь P—S в II слабее, менее полярна и имеет больший π -характер по сравнению со связью P—O в I, что соответствует прямым и косвенным эксперим. данным.

М. Гофман

* 65-6583

1974

OPF₃

SPF₃

Эксперимент

✓ Д138. Связь в оксифториде и тиофториде фосфора. Исследование неэмпирическим методом ССП МО ЛКАО. Serafini A., Labagge J.-F. Bonding in phosphorus oxyfluoride and phosphorus thiofluoride. An ab initio SCF LCAO MO study. «Chem. Phys. Lett.», 1974, 27, № 3, 430—432. (англ.)

Неэмпирич. методом ССП МО ЛКАО в базисе гауссовых ф-ций $12s9p1d$ для атомов Р и S и $10s6p$ для атомов О и F, сгруппированном в двухэкспонентный базис, исследовано электронное строение OPF₃ (I) и SPF₃ (II) в эксперим. геометрии. Приведены энергетич. характеристики и распределение электронной плотности. Показано, что связь P—S слабее и менее полярна, чем связь P—O. При этом прочности связей P—F и полные заселенности атомов F в I и II близки друг к другу.

В. Л. Лебедев



Рентгеноэлектр. спектры

1975

OPF_3

Cavell R. G.

Xu-11811

Inorg. Chem., 1975, 14, N 11,
2828-2831.

● $(\text{Cavell } \text{PF}_5)_{\text{III}}$

POF_3

annumee 4692

1976

Collins J.B. et al.

Kb. met.

pacets.

clavate.

U.S.U. 284234

J. Chem. Phys.,

1976, 64 n12

5742 - 51

(see. Natt; II)

POF₃

1976

786: 111420g A theoretical study of some vibrational and electronic properties of phosphoryl fluoride. Dwyer, Rowland W., Jr. (Virginia Commonw. Univ., Richmond, Va.). 1976. 185 pp. (Eng). Avail. Xerox Univ. Microfilms, Ann Arbor, Mich., Order No. 77-297. From Diss. Abstr. Int. B 1977, 37(7), 3433.

44, 42,

C.A. 1977, 86 N16

IX-5257

1976

HgH₂, ClO₂, SO₂Cl₂, PH₃, PF₃O,
BF₃Cl, SiH₂, HCP, OC₃, HNC₃, CH₂FCl,
BCl₃ (incl. mix. products).

Marsh F.J., Gordon M.S.

7. Mel. Street, 1976, 31, NL, 345-357

POF₃

1976

2 Б36. Квантовохимическое исследование фосфорилгалогенидов и тиофосфорилгалогенидов. Пеньковский В. В., Мюллер А. «Теор. и эксперим. химия», 1976, № 4, 452—460

Методом ППДП/2 и модифицированным методом ППДП с параметрами Сантри рассчитаны молекулы POF_3 , POF_2Cl , POFCl_2 , POCl_3 , PSF_3 , PSF_2Cl , PSFCl_2 и PSCl_3 . Найденная электронная конфигурация молекул соответствует данным неэмпирич. расчета. Расчет правильно передает величины первых потенциалов ионизации молекул, межатомных расстояний P—S, P—F и P—Cl, а также соответствие между рассчитанными зарядами на атомах фтора и величинами хим. сдвигов ^{19}F . Вычисленные заселенности 3d-орбиталей фосфора завышены. Детали электронного строения связей образованных двумя элементами третьего периода, и величины дипольных моментов рассчитанных молекул передаются в методе ППДП/2 неудовлетворительно. Параметризация Сантри не приводит к улучшению результатов.

Автореферат

*Кб. исх.
рефер*

(+3)

X1977 n 2

POF₃

2 Д140. Квантовохимическое исследование фосфо-
рилгалогенидов и тиофосфорилгалогенидов. Пень-
ковский В.В., Мюллер А. «Теор. и эксперим. хи-
мия», 1976, 12, № 4, 452—460 1976

Методом ППДП/2 и модифицированным методом
ППДП с параметрами Сентри рассчитаны молекулы
POF₃, POF₂Cl, POFC₂, POCl₃, PSF₃, PSF₂Cl, PSFCl₂ и
PSCl₃. Найденная электронная конфигурация молекул
соответствует данным неэмпирич. расчета. Расчет пра-
вильно передает величины первых потенциалов иониза-
ции молекул, межатомных расстояний Р—S, Р—F и
Р—Cl, а также соответствие между рассчитанными заз-
рядами на атомах фтора и величинами химич. сдвигов
¹⁹F. Вычисленные заселенности 3d-орбиталей фосфата
зены. Детали электронного строения связей, об-
разованных двумя элементами III периода, и величины
дипольных моментов рассчитанных молекул передаются
в методе ППДП/2 неудовлетворительно. Параметриза-
ция Сентри не приводит к улучшению результатов.
Библ. 30. Автореферат

*Кб. цех.
научн.*

Ф. 1977. № 2

(+4) №

P05₃

Сладков И.Б.

1976

изотоп.
паралл.

(“Редкод. „и. физ. химии“
АН СССР) М., 1976. 17 с.,
ил., библиогр. 12 наяз. (Рукопись
зарегистрирована в ВИНИТИ 20 окт. 1976 г.
N 3720-76 “Den”)



(ав P05₃; II)

* 63-15918

1976

OPF₃

4 Д422. Микроволновый спектр фосфорилтрифтори-

да в возбужденных колебательных состояниях.

Smith J. G. Microwave spectra of phosphoryl trifluoride in vibrationally excited states. «Mol. Phys.», 1976, 32, № 3, 621—645 (англ.)

В диапазоне 8—240 Гц измерен микроволни. спектр молекулы OPF₃. Идентифицированы линии вращательных переходов с $J \leq 25$ в первых возбужденных состояниях колебаний $v_3 - v_6$. Анализ спектра выполнен с учетом *l*-резонанса, обусловленного неодногранальными матричными элементами колебательно-вращательного гамильтониана с $|\Delta l|=2$, $|\Delta K|=2$ и $|\Delta l|=2$, $|\Delta K|=1$, квартичного и секстичного центробежного искажения и кориолисова взаимодействия (включая его зависимость от *J* и *K*). Определены значения вращательных, центробежных и кориолисовых постоянных и параметров *l*-резонанса. По полученным значениям кориолисовых и центробежных постоянных вместе с частотами колебаний вычислены квадратичные силовые коэф. молекулы OPF₃.

М. Р. Алиев

Ф. 1977 № 4

OPF₃

1976

63-15918

1986: 62883z Microwave spectra of phosphoryl trifluoride in vibrationally excited states. Smith, J. G. (Dep. Phys. Chem., Univ. Newcastle upon Tyne, Newcastle upon Tyne, Engl.). *Mol. Phys.* 1976, 32(3), 621-45 (Eng). Ground-state microwave spectra of ¹⁶OPF₃ and ¹⁸OPF₃ were recorded and analyzed to give accurate centrifugal distortion consts. The pure rotational spectrum of ¹⁶OPF₃ was also recorded and analyzed for the $v_{2-6} = 1$ states. Anal. of $v_{5,6} = 1$ states is discussed in detail and the Coriolis consts. ξ_{55}^z and ξ_{66}^z are detd. The A rotational const. for $v_6 = 1$ is detd. The harmonic force field of OPF₃ is calcd. from the ground-state distortion consts., the Coriolis consts., and known ir fundamental frequencies.

M. S. Chikap

C.I. 1974. 86. N10

Х 8-15918

1976

OPF₃

и.н.
Чесноков

д. 1977.18

8 Б234. Микроволновые спектры фосфорилтрифторида в возбужденных колебательных состояниях. Smith J. G. Microwave spectra of phosphoryl trifluoride in vibrationally excited states. «Mol. Phys.», 1976, 32, № 3, 621—645 (англ.)

Измерены в области частот от 26 до 240 ГГц МВ-спектры двух изотопич. образцов фосфорилтрифторида, OPF₃: ¹⁶O (I) и ¹⁸O (II), в основном колебательном состоянии I в пяти возбужденных колебательных состояниях. Для обоих образцов и всех состояний определены вращательные постоянные и постоянные центробежного искажения. Для образцов I и II в основном состоянии вращательные постоянные (в ГГц) соотв., равны: $B = 4594,2624(4)$ и $4395,287(1)$, постоянные центробежного искажения (в кГц) $D_J = 1,0141(12)$ и $0,8738(39)$, $D_{JK} = 1,2836(18)$ и $1,4629(51)$. С привлечением новейших данных по электронной дифракции определена r_0 — структура I: $r(P-F) = 1,5230 \text{ \AA}$, $r(P-O) = 1,4358 \text{ \AA}$, $\angle FPF = 101,25^\circ$. Полученные МВ данные для возбужденных колебательных состояний использованы для определения постоянных гармонич. силового поля и зависимости постоянных центробежного искажения от колебательного состояния.

С. Н. Мурзин

OPF₃

Blumrich 5112 1977

87: 31502r Distortion moment microwave transitions in phosphoryl fluoride (OPF₃). Kagann, R. H.; Ozier, I.; Gerry, M. C. L. (Dep. Phys., Univ. British Columbia, Vancouver, B.C.). *Chem. Phys. Lett.* 1977, 47(3), 572-4 (Eng). The distortion moment microwave spectrum of a heavy mol. was detected for the 1st time. Ninety-three transitions obeying the selection rules $\Delta J = 0$ and $\Delta K = \pm 3$ were obsd. in ¹⁶OPF₃ between 9.4 and 12.4 GHz. By using the current value of 217.52(4) MHz for the difference ($A_0 - B_0$) in the 2 rotational consts., the mol. structure was obtained from ground vibronic state microwave data alone.

*Conjugal
naphthal.*

C.A. 1977. 87 n 4

отмеч 5112

1977

OPF₃

19 Б287. Микроволновые переходы в фосфорилфториде (OPF₃), обусловленные центробежным искажением. Kagan R. H., Ozier I., Gerry M. C. L. Distortion moment microwave transitions in phosphoryl fluoride (OPF₃). «Chem. Phys. Lett.», 1977, 47, № 3, 572—574 (англ.)

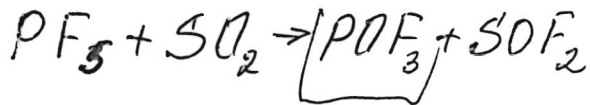
Измерен в области частот от 9,4 до 12,4 ГГц запрещенный чисто вращательный спектр фосфорилфторида, OPF₃ (**I**), в основном колебательном состоянии. МВ-спектр наблюдался за счет электрич. дипольного момента, наведенного в молекуле центробежным искажением. Идентифицировано 93 перехода с правилами отбора $\Delta J=0$ и $\Delta K=\pm 3$. Анализ спектра выполнен с учетом центробежного искажения вплоть до шестого порядка. Определены спектроскопич. постоянные (в МГц) $A_0-B_0=217,52(4)$, $A_0=4811,78(4)$, $D_{JK}=1,28(2)\cdot 10^{-3}$, $D_K=-1,067(8)\cdot 10^{-3}$, $H_{JK}=8,0(7)\cdot 10^{-9}$. На основе данных о МВ-спектре в основном колебательном состоянии определена структура **I**: $r(OP)=1,437$ Å, $r(PF)=1,522$ Å, $\angle FPF=101,14^\circ$. Вычисленная структура **I** хорошо согласуется с известными МВ-данными и данными по дифракции электронов.

С. Н. Мурzin

М.Н.

Х. 1977
N 19

1977



p-еюи
даже си.
погуаы.

87: 31847g Reactions between phosphorus pentafluoride and sulfur dioxide in the presence of carbon dioxide laser radiation. Klimov, V. D.; Kuz'menko, V. A.; Legasov, V. A. (Inst. At. Energ. im. Kurchatova, Moscow, USSR). *Zh. Fiz. Khim.* 1977, 51(4), 949-51 (Russ). Under the action of a pulsed CO₂ laser (1.5 ms) PF₅ reacts with SO₂ according to the equation PF₅ + SO₂ → POF₃ + SOF₂. In the presence of Xe and Kr the reaction rate increases, while in the presence of Ar, Ne, and He it decreases.

A. Plonka

C.A. 1977. 87 n 4

POF_3

monocell 5792.

1977

Madewa Shimaneuchi T.

J.

J. Phys. Chem. and Ref. Data,
1977, 5, 993-1102.

1974

 F_3PO F_3PS F_3PSe Cl_3PO Cl_3PS Cl_3PSe CH_3PO CH_3PS CH_3PSe

N. 1974 N 20

Электронное состояние

20 Б23. Природа связи и электронные переходы в халькофосфорильной группе. Зуев М. Б., Чаркин О. П., Чернова А. В., Шагидуллин Р. Р. «Докл. АН СССР», 1977, 234, № 2, 361—364

Неэмпирическим методом ЧПДП-2 (α , β) с комбинированным sp -базисом ФСТ рассчитаны приближенные волновые функции девяти молекул X_3PY ($X=F, Cl, CH_3$, $Y=O, S, Se$). Рассмотрены изменения электронного строения $\equiv PY$ группы при переходе из основного в возбужденное состояние. Показано, что для $ne \rightarrow (n+1)e$ и $ne \rightarrow a_1$ переходов возбуждение заметно меняет электронную плотность лишь в области $\equiv PY$ группы. Переходы типа $ne \rightarrow (n+1)e$ сопровождаются заметным раз-



(78)



рьхлением π -электронной оболочки $\equiv PY$ группы и переносом заряда с атома Y на атом P. Полученные результаты в целом хорошо согласуются с предсказаниями колек. модели валентных состояний атомов и дают нек-рые основания полагать, что присоединение атома Y к молекуле PX_3 идет по механизму «промотирования».

Автореферат

POF₃

отмечено 6034 1978

17 Б293. Изучение ИК-спектра разрешения полосы ν_4 POF₃ с помощью лазерной штарковской спектроскопии. Amano T., Schwendeman R. H. High-resolution infrared spectrum of the ν_4 band of POF₃ by laser Stark spectroscopy. «J. Chem. Phys.», 1978, 68, № 2, 530—537 (англ.)

На лазерном штарковском ИК-спектрометре, использующим линии CO₂-лазера [от $R(38)$ до $R(54)$] изучен переход ν_4 POF₃ в области 10,1 мкм. Выполнено отнесение наблюдаемых линий и определены молек. постоянные: $\nu_4 = 992,972904 \pm 0,000033 \text{ см}^{-1}$, $A_4 = 4803,06 \pm 0,16$; $B_4 = 4584,668 \pm 0,30$; $(D_{JK})_4 = 0,0025 \pm 0,0030$; $(D_K)_4 = -0,0008 \pm 0,0113$; $(As)_4 = 2429,03 \pm 0,22 \text{ МГц}$, $\mu_4 = 1,83943 \pm 0,00040$; $\mu_0 = 1,86958 \pm 0,00038 D$.

Л. В. Серебренников

22.10.78, N 14

отмечен 6034 1978

POF_3

8 Д448. Исследование ИК-спектра высокого разрешения полосы v_4 POF_3 методом лазерной штартковской спектроскопии. Ашано Т., Schwendeman R. H. High-resolution infrared spectrum of the v_4 band of POF_3 by laser Stark spectroscopy. «J. Chem. Phys.», 1978, 68, № 2, 530—537 (англ.)

Получены ИК-штартковские спектры колебательно-вращательной полосы v_4 молекул POF_3 с использованием в качестве источника излучения линий генерации $R(40)$ — $R(54)$ полосы 10.4 мк стабилизированного CO_2 -лазера. Зарегистрировано и интерпретировано несколько десятков штартковских резонансов, на многих из которых наблюдался лэмбовский провал. Из анализа эксперим. данных получена частота чисто-колебательного перехода $v_0 = 992,972904 \pm 0,000033 \text{ см}^{-1}$, набор вращательных постоянных, включая постоянные кориолисова взаимодействия и l -удвоения, а также значения дипольного момента в основном и возбужденном состояниях. Библ. 16.

Ю. М. Л.

90:1978, N8

Comments 6034

1978

POF₃

88: 112825w High-resolution infrared spectrum of the ν_4 band of phosphoryl fluoride by laser Stark spectroscopy. Amano, T.; Schwendeman, R. H. (Dep. Chem., Michigan State Univ., East Lansing, Mich.). *J. Chem. Phys.* 1978, 68(2), 530-7 (Eng). Transitions in the ν_4 band of POF₃ were obsd. by an IR laser Stark spectrometer resonating on the CO₂ $R(38)$ to $R(54)$ laser lines near 10.1 μm . Many POF₃ transitions were obsd. for this perpendicular band with both $\Delta M = 0$ and $\Delta M = \pm 1$ selection rules. Many of the lines were obsd. as Lamb dips. The spectral assignment was confirmed by the observation of a no. of IR-microwave double resonances. Mol. consts. obtained from anal. of the laser Stark spectra are $\nu_4 = 29768578.6 \pm 1.0$ MHz, $A_4 = 4803.06 \pm 0.16$ MHz, $B_4 = 4584.67 \pm 0.03$ MHz, $(A_5)_4 = 2429.0 \pm 0.2$ MHz, $\mu_4 = 1.8394 \pm 0.0004$ D, and $\mu_0 = 1.8696 \pm 0.0004$ D.

Dy

M.N. - (111)
H(II)

C.A. 1978, 31, N16

POF_3

London 8416 | 1978

POCl_3

$\text{O}\delta\text{ }^3\text{op}$

4.11.

Process
crisps

Asundi R.K., et al.
Indian J. Phys. and Appl.
Phys., 1978, I6, p. I42-I50.

отмеч 6554

OPF₃

2 Д455. Спектр молекулы ¹⁶OPF₃ в микроволновой области, возникающий за счет центробежного дипольного момента. Kagann R. H., Ozier I., Geggum C. L. The microwave centrifugal distortion moment spectrum of ¹⁶OPF₃. «J. Mol. Spectrosc.», 1978, 71, № 1-3, 281—298 (англ.)

1978

На штарковском спектрометре с чувствительностью $\approx 10^{-11}$ см⁻¹ в диапазоне 9—18 ГГц измерен микроволны спектр молекулы OPF₃. Идентифицированы линии 152 запрещенных вращательных переходов с $\Delta J=0$, $\Delta K=\pm 3$ в основном колебательном состоянии, проявляемых за счет центробежного искажения. Определены значения разности вращательных постоянных $A-B=-217,495$ МГц, постоянных квартичного центробежного искажения $D_{JK}=1,2971$, $D_K=-1,114$ кгц, постоянных секстичного центробежного искажения $H_{JK}=9,10 \cdot 10^{-6}$, $H_{KJ}=-6,8 \cdot 10^{-6}$, $H_K=-73 \cdot 10^{-6}$ кгц и центробежного дипольного момента $\mu_D=4 \cdot 10^{-6}$ ед. Дебая.

М. Р. Алиев

Ф. 1979. 2

OPF_3

Омск 6554 1978

24 Б284. Микроволновый спектр $^{16}\text{OPF}_3$, индуцированный эффектом центробежного искажения. Kagan R. H., Ozier I., Gerry M. C. L. The microwave centrifugal distortion moment spectrum of $^{16}\text{OPF}_3$. «J. Mol. Spectrosc.», 1978, 71, № 1-3, 281-298 (англ.)

На штарковском спектрометре высокой чувствительности измерен в области частот от 9 до 18 ГГц МВ-спектр, наведенный центробежным искажением, молекулы $^{16}\text{O}^{31}\text{P}^{19}\text{F}_3$ (I) типа симм. волчка. Чувствительность спектрометра равна приблизительно $1 \cdot 10^{-11}$ см $^{-1}$. Идентифицировано 152 перехода с правилами отбора

М. б.
спектр

2.1978, N24

$\Delta J=0$, $\Delta K=\pm 3$. Анализ спектра выполнен с гамильтонианом в представлении Уотсона с учетом секстичных постоянных центробежного искажения. Определены разность вращательных постоянных в кгц ($A_0 - B_0$) = $= 217495(2)$ и постоянные центробежного искажения (в кгц) $D_{JK} = 1,2971(7)$, $D_K = -1,114(12)$, $\chi_{JK} = 9,10(27) \cdot 10^{-6}$, $\chi_{KJ} = -6,8(8) \cdot 10^{-6}$, $\chi_K = -73(30) \cdot 10^{-6}$. Из данных по относит. интенсивностям МВ-переходов для I и SiH₄ определен дипольный момент I, наведенный центробежным искажением, $\mu_D = 4,0(1,4) \cdot 10^{-6} D$. На основе полученных результатов вычислена r_0 -структура I $r(OP) = 1,437(4)$ Å, $r(PF) = 1,522(4)$ Å, $\angle FPF = 101,14(10)^\circ$.

С. Н. Мурзин

OPF₃

1978

89: 68032c The microwave centrifugal distortion moment spectrum of phosphoryl fluoride (¹⁶OPF₃). Kagann, R. H.; Ozier, I.; Gerry, M. C. L. (Dep. Phys., Univ. British Columbia, Vancouver, B. C.). *J. Mol. Spectrosc.* 1978, 71, 281-93 (Eng). The microwave centrifugal distortion moment spectrum of the sym. top ¹⁶O³¹P¹⁹F₃ in its ground vibronic state was studied between 9 and 18 GHz with a Stark modulated spectrometer of high sensitivity. The frequencies of 152 transitions obeying the selection rules $\Delta J = 0$, $\Delta K = \pm 3$ were measured. A unique identification of the lines was made by using the current results in a reanal. of the allowed *R*-branch spectrum reported recently. From the *Q*-branch data, values were obtained for the rotational const. difference ($A_0 - B_0$), 2 quartic distortion consts. and 3 sextic distortion consts. In kHz, these are: $(A_0 - B_0) = 217,495 \pm 2$; $D_{JK} = (1.2971 \pm 0.0007)$; $D_K = -(1.114 \pm 0.012)$; $H_{JK} = (9.10 \pm 0.27) \times 10^{-6}$; $H_{KJ} = -(6.8 \pm 0.8) \times 10^{-6}$; $H_K = -(73 \pm 30) \times 10^{-6}$. The value ($A_0 - B_0$) was combined with the *R*-branch values of B_0 for ¹⁶OPF₃ and ¹⁸OPF₃ to give improved structural parameters. By comparing the intensities of 2 phosphoryl fluoride lines with the intensities of 2 silane lines of matching frequencies, the distortion dipole moment of ¹⁶OPF₃ was detd. to be $(4.0 \pm 1.4) \times 10^{-6}$ D.

*M. N.
M. B. circuit*

C.A. 1978, 29, N.P.

OPF_3 (cc.u.n.) XIII-4987 1978

Olier J., Meerts W.H.
Phys. Rev. Lett., 1978, 40, n 4, 226-229 (arxiv).
Avoided crossings in molecular-beam
electric-resonance spectroscopy: the
observation of forbidden ($\Delta K = \pm 1; \pm 2; \pm 3$)
transitions in phosphoryl fluoride (OPF_3).

Premier, 1978, 145 272 10

(p)

OPF₃ ammeca 6544 1978

Sullivan S.A. et al.

(do) ¹
Inorg. Chem.; 1978; 17 (6)
1589-95

1979

POF₃

11 Б252. Наблюдение эффектов антипересечения уровней в лазерных штарковских спектрах POF₃. Amato T., Schwendeman R. H. Observation of level anticrossing effects in the laser-stark spectra of POF₃. «J. Mol. Spectrosc.», 1979, 78, № 3, 447—451 (англ.)

Лазерная штарковская спектроскопия насыщения применена для исследования колебательно-вibrативных

полувидимых от доплеровского уширения газообразного POF₃ (I) в области колебания v_4 ($\sim 10,1$ мкм). В качестве источника использован CO₂-лазер, а в качестве приемника — охлаждаемый азотом фотоприемник на базе PbSnTe, давление I — (5—30) · 10⁻³ мм. Антипересечение уровней приводило к появлению доп. максимумов поглощения, налагающихся на доплеровский контур линии, полуширина максимумов не зависела от давления I. Оценены значения A_0 — B_0 . Предложен новый метод расчета полуширин полос при пересечении и антипересечении уровней.

А. В. Бобров

спектр

2.1980.111

POF₃

6 Д327. Наблюдение эффектов антипересечения
уровней в лазер-штарк-спектрах POF₃. Observation of
level anticrossing effects in the laser-Stark spectra of
POF₃. Амано Т., Schwendeman R. H. «J. Mol.
Spectrosc.», 1979, 78, № 3, 437—451 (англ.)

1979

Описана техника эксперимента и приведены полученные методом ИК-лазер-штарк-спектроскопии результаты исследования эффектов антипересечения уровней в POF₃. Эффекты, связанные с антипересечением уровней J, k, m и $J, k \pm 3, m$, проявились в спектре поглощения в виде дополнительных резких пиков, накладывающихся на уширенные эффектом Допплера полосы.

и, н.

В диапазоне $(10 \div 50) \cdot 10^{-3}$ мм рт. ст. зависимость ширины пиков от давления исследуемого газа не обнаружена. На основе эксперим. данных вычислено значение разности вращательных постоянных молекулы, $A_0 - B_0 = (217,54 \pm 0,05)$ Мгц. Описана процедура расчета формы линий при пересечении или антипересечении уровней, являющаяся более общей, чем расчеты, основанные на теории возмущений. Библ. 29.

А. В. Н.

Ф 1980 № 6

POF₃

1979

2 Д390. Идентификация различных слабых донорно-акцепторных соединений пентафторидов мышьяка и сурьмы с мостиковыми кислородными связями: переста-

новка обычной льюисовской кислотности этих пентафторидов по отношению к сульфурилфториду. Identification by Raman spectroscopy of various weak oxygen-bridged donor-acceptor adducts of arsenic and antimony pentafluorides: a reversal of the usual Lewis acidities of these pentafluorides towards sulphuryl fluoride. Chen Grace S. H., Passmore Jack. «J. Chem. Soc. Dalton Trans.», 1979, № 8, 1257—1261
(англ.)

Получены спектры комб. рас. (50—1600 см⁻¹) комплексов (К) POF₃, SO₂, SOF₂ и COF₂ и AsF₅ и SbF₅ при т-рах от —162 до +20° С. Проведен анализ колебательных линий акцепторных групп в К в группе симметрии C_{4v}, а также донорных фрагментов при со-поставлении со спектрами аналогичных свободных фторидов. Предположено, что изученные К имеют донорно-

(V_i)

(f5)

4.1980 № 2

акцепторную природу при соотношении компонент 1:1 и наличии мостиковой кислородной связи. Проведена оценка основности донорных групп в К. Показано, что более слабое основание — сульфурилфторид образует К состава 1:1 с AsF_5 , тогда как аналогичный К с SbF_5 нестабилен. Сделан вывод, что меньшая способность SbF_5 к комплексообразованию связана с полимерной природой этого соединения в растворах и в жидком, и твердом состояниях. Библ. 34. И. В. А.



PDF₃

1979

Drake M.C., Rosenblatt G.H.,
Raman spectroscopy in high tem-
perature chemistry.

CKP

10th Materials Research Sympo-
sium on characterization of high
temperature, Vapors and Gases.

NBS Special Publication 561
Volume 1, 1979, 609-646.



(y Typhura)

OPF₃

Om. 21759) 1979

Hillier Far H.

quenched.
excess

Pure and Appl. Chem.
1979, 51, VII, 2183-95.

cat. PF₃-111

POF_3

Lammeen 9315 | 1979

Jameson C.J. et al.

mentiles,

bezurug. J. Phys. Chem., 1979,
83 (26), 3372 -78

отмечи 8500

1979

OPF₃

2 Б398. Спектр OPF₃, полученный методом электрического резонанса с молекулярным пучком. Meerts W. Leo, Ozier Irving, Dumanus Antoni. The molecular beam electric resonance spectrum of OPF₃. «Can. J. Phys.», 1979, 57, № 8, 1163—1173 (англ.)

С использованием техники молек. пучков методом электрич. резонанса исследован спектр ¹⁶OPF₃ (I). В сочетании с результатами ранее выполненных методом магнитного резонанса исследований полученные данные позволили определить спин-вращательные константы и два тензора спин-спиновых констант. Определены также молек. g-факторы и анизотропия восприимчивости. Вычислен молек. квадрупольный момент. На основании анализа данных по эффекту Штарка определены электрич. дипольные моменты для основного колебательного состояния I и для состояний с $v_5=1$ и $v_6=1$. Для каждого из этих двух возбужденных состояний получены константы *l*-удвоения.

Из резюме

XIII-5519

Ф1680.12

OPF_3

ЭСР-спектр
крикета

Commited 8500

1979

91: 149024x The molecular beam electric resonance spectrum of phosphoryl fluoride (OPF_3). Meerts, W. Leo; Ozier, Irving; Dymanus, Antoni (Fys. Lab., Kathol. Univ., Nijmegen, Neth.). *Can. J. Phys.* 1979, 57(8), 1163-73 (Eng). The mol. beam elec. resonance spectrum of OPF_3 was investigated. A hyperfine study of ($K = 0$) multiplets was combined with earlier magnetic resonance data and chem. shift arguments to obtain 4 spin-rotation consts. and 2 tensor spin-spin consts. The results (in kHz) are: $C \perp P = +7.7(8)$, $c \parallel P = +21(6)$, $c \perp F = +4.6(4)$, $c \parallel F = +4.0(2.5)$, $d^{FF} = 4.1(9)$. Values are also reported for g-factors, mol. quadrupole moment, and l-doubling consts. The mol. beam elec. resonance method can be applied to sym. tops with relatively large room temp. rotational partition functions by reducing the rotational temp. to a few K with the seeded beam technique.

XII - 5579

Q.A. 1979 9/118

POF₃

Ottewick 11705

1980

Thyagarajan G., Subhedar
M. K.

et al no 1, Indian J. Pure and
Appl. Phys., 1980, 18,
392-395.

POF_3

отм. № 11529

1981

11 Д422. Исследование двойного ИК-микроволнового резонанса на основной полосе $v_4 \text{ POF}_3$. Infrared-microwave double resonance study of the v_4 fundamental band of POF_3 . Амано Т., Schwendeman R. H. «Chem. Phys.», 1981, 57, № 3, 333—340 (англ.)

Методом двойного ИК-микроволни. резонанса получены спектры газообразного POF_3 в возбужденном состоянии v_4 . Накачка производилась лазером CO_2 на линиях $R(48)$ и $R(50)$ полосы 10,4 мкм. В микроволни. поглощении наблюдены штарковские спектры, отвечающие переходам с уровней $^P P_2(2)$ и $^R P_0(4)$ молекулы POF_3 в состоянии v_4 с правилами отбора $\Delta m=0$. Приведены значения резонансных полей и микроволни. частот наблюденных линий. Ряд линий отнесен к переходам с уровнем, заселенных за счет переноса энергии при столкновениях молекул. Определена вращательная постоянная B и дипольный момент молекул в состоянии v_4 , а также зависимость дипольного момента от вращательного состояния. Библ. 11.

М. В. Т.

φ. 1981, 18, N 11.

OCTOBER 11529.

1981

POF₃

95: 33056n Infrared-microwave double resonance study of the v_4 fundamental band of phosphoryl fluoride. Amano, T.; Schwendeman, R. H. (Dep. Chem., Michigan State Univ., East Lansing, MI 48824 USA). *Chem. Phys.* 1981, 57(3), 333-40 (Eng). Three-level and 4-level IR-microwave double resonance effects were obsd. in a POF₃ sample contained in a microwave waveguide Stark cell that was modified to permit transmission of radiation from a CO₂ IR gas laser. In 3-level double resonance expts. laser pumping of rotational states in the $v_4 = 1$ vibrational state greatly increased the signal/noise for observation of Stark-shifted rotational transitions in the excited vibrational state. The frequencies of the obsd. excited state transitions were used to confirm the assignment of laser Stark spectra and to obtain independent measures of the rotational const. B and the dipole moment for $v_4 = 1$. The observation of 4 level double resonances could be explained qual. by the assumption of dipole selection rules for collision-induced transitions. However, the intensities of the double-resonance effects could not be explained by this simple model.

U.R.
M. B. ghoul.
prezarcic

C.A. 1981. 95 N 4

документ 11529 1981

POF₃

21 Б265. Изучение фундаментальной полосы ν_4 POF₃ методом инфракрасного—микроволнового двойного резонанса. Атапо Т., Schwendeman R. H. Infrared—microwave double resonance study of the ν_4 fundamental band of POF₃. «Chem. Phys.», 1981, 57, № 3, 333—340 (англ.)

Методом спектроскопии ИК-МВ двойного резонанса изучена фундаментальная полоса ν_4 молекулы POF₃. Исследуемый газ напускался в X-полосный латунный волновод длиной 1 м, вдоль к-рого дважды пропускалось излучение CO₂-лазера [линия R(50) и R(48) полосы 00°1—10°0, 10,4 мкм]. Регистрация сигналов двойного резонанса осуществлялась путем контроля мощности прошедшего МВ или ИК излучения. В первом случае использовалась обычная штарковская модуляция малой амплитуды с частотой 100 кГц, во втором — применялась МВ частотная модуляция (10 кГц). Для калибровки электрич. поля использовался спектр OCS (переход $I=2 \leftarrow 1$). Полученные значения вращательной постоянной B_4 и дипольного момента μ_4 :

Х.21.1981

(соотв. $4584,56 \pm 0,07$ мГц и $1,8413 \pm 0,0016$ D) несколько отличаются от величин, найденных авторами ранее методом лазерной штартковской спектроскопии ($4584,668 \pm 0,030$ мГц и $1,83943 \pm 0,00040$ D). Помимо трехуровневых резонансов наблюдались четырехуровневые резонансы, появление к-рых может быть качественно объяснено если предположить дипольные правила отбора для переходов индуцируемых столкновениями. Однако интерпретировать в рамках этой простой модели наблюдаемые интенсивности оказалось нельзя.

В. М. Ковба

дате
B.

F₃PO

[Omnick 12957]

1981

9, Жерши
Сбесю,
смужхрода
Сбесю,
акт.наст.

Ciullo G., et al.,

Z. phys. Chem. (BRD),
1981, 127, N1, 1-12.



(см NF₃; II)

Оттиск 10972 1981

OPF₃

8 Д487. Спектроскопия непересекающихся уровней симметричных ротаторов в молекулярных пучках. Ч. I. Фосфорилфторид OPF₃. Avoided-crossing molecular-beam spectroscopy of symmetric tops. I. Phosphoryl fluoride (OPF₃). Ozier Irving, Meerts W. Leo. «Can. J. Phys.», 1981, 59, № 1, 150—171 (англ.; рез. франц.)

Разработана методика радиочастотной спектроскопии газообразных молекул, помещенных в электрич. поле. Основой методики служит явление снятия запрета с переходов между почти вырожденными уровнями с раз-

(ϵ_1, μ_1, μ_2)
ными значениями квантового числа K в молекулах типа симметричного волчка под действием внешнего поля. Показано, что методика может быть использована для определения молекулярных констант, характеризующих зависимость дипольного момента μ от значений квантовых чисел J и K (μ_J и μ_K соответственно). Возможности метода проиллюстрированы на примере исследования молекулы OPF₃. Определены следующие параметры этой молекулы: $(A_0 - B_0) = 217,4987$ МГц, $\mu_D = 5,856 \cdot 10^{-6}$ ед. Дебая, $\mu_J = -3,38 \cdot 10^{-6}$ ед. Дебая. Отмечено, что методика позволяет также определить знак g-фактора. Библ. 34.

М. Т.

φ. 1981 N 8

OPF_3

Оммичек 109.49

2.1981.115

15 Б257. Спектроскопия псевдопересечения пучков молекул типа симметричного волчка. I. Фосфорилфторид (OPF_3). Ozieg Irving, Meerts W. Leo. Avoiding-crossing molecular-beam spectroscopy of symmetric tops. I. Phosphoryl fluoride (OPF_3). «Can. J. Phys.», 1981, 59, № 1, 150—171 (англ.; рез. франц.)

Вариант метода электрич. резонанса в молек. пучках метод спектроскопии псевдопересечения — использован для изучения молекул типа симм. волчка, OPF_3 . Метод заключается в том, что два уровня с различными значениями K под действием электрического поля становятся почти вырожденными и наблюдаются обычно запрещенные электрич. дипольные переходы между взаимодействующими уровнями. Смешивание матричных элементов $\eta_{\text{шт}}$ (штарковского типа) с $\Delta K = \pm 3$ происходит за счет центробежного искажения дипольного момента, μ_D , а смешивание $\eta_{\text{СТС}}$ с $\Delta K = \pm 1, \pm 2$ — за счет части ядерного гамильтониана связанного со СТС. Выражения для $\eta_{\text{СТС}}$ даны в приложении. Обсуждаются детали самого метода исследования. Определены значения молекулярных постоянных OPF_3 (в основном вибронном состоянии): $A_0 - B_0 = 217,4987$ мГц, $\mu_D = 5,856 \cdot 10^{-6} D$, $\mu_J = -3,38 \cdot 10^{-6} D$ [$\mu(J, K) = \mu_0 + \mu_J J(J+1) + \mu_K K^2$], $g_{\perp} = -0,04460$ нм, $g_{\parallel} = -0,03370$ нм.

В. М. Ковбас

OPF₃

Сентябрь 1985 1981

3 Б339. Спектры OPF_3 в колебательно возбужденном состоянии $v_6=2$ в миллиметровой области. Smith John G. Millimeter wave spectra of OPF_3 in the vibrationally excited state $v_6=2$. «J. Mol. Spectrosc.», 1981, 88, № 1, 126—132 (англ.)

Измерены миллиметровые спектры молекулы OPF_3 в возбужденном колебательном состоянии $v_6=2$ (даны частоты наблюдаемых линий и их отнесение). Из анализа спектров получены следующие значения молекулярных постоянных OPF_3 ($v_6=2$): $A_v = 4803,2$, $B_v = 4585,535$, $A_{\zeta v} = -729,0$, $|q_t^+| = 1,07645$, $|r_t| = 1,468$ (все в мГц), $D_I v(\beta=0) = 0,968$, $D_{IK} v(\beta=0) = 0,943$, $D_I v(\beta \neq 0) = 1,038$, $D_{IK} v(\beta \neq 0) = 1,370$, $\eta_I = -14,30$, $\eta_K = 252$, $\gamma_{II}^B = -16,7$ (все в кГц), $\chi_{II} = 16134$ мГц. Найденные молекулярные постоянные сопоставляются с данными для основного и первого возбужденного $v_6 = 1$ состояния.

В. М. Ковба

Х, 1982, № 19, № 3.

OPF₃

COMMENCED 11/9/81

' 95: 105779a Millimeter wave spectra of phosphoryl fluoride in the vibrationally excited state $v_6 = 2$. Smith, John G. (Phys. Chem. Dep., Univ. Newcastle upon Tyne, Newcastle upon Tyne, Engl.). *J. Mol. Spectrosc.* 1981, 88(1), 126-32 (Eng). Millimeter wave spectra were recorded for the excited vibrational state $v_6 = 2$ of OPF₃. A full anal. of these spectra yields new rovibrational parameters, and also the vibrational sepn. of the $l = 0$ and $l = 2$ levels, given by $x_{11} = 16,134 \pm 390$ MHz. The results were compared with the $v_6 = 1$ state.

(MM checked)

C. A. 1981, 95, N/12.

OPF_3

ОТМЕСКА 11.9.75 1981

2 Д573. Вращательный спектр возбужденного колебательного состояния $v_6=2$ молекулы OPF_3 в миллиметровом диапазоне. Millimeter wave spectra of OPF_3 in the vibrationally excited state $v_6=2$. Smith John G. «J. Mol. Spectrosc.», 1981, 88, № 1, 126—132 (англ.)

В диапазоне 25—170 ГГц измерен микроволн. спектр молекулы OPF_3 . Помимо линий основного и первого возбужденного состояний колебания v_6 идентифицированных ранее, обнаружены и идентифицированы линии вращательных переходов с $J \leq 17$ обоих ангармонич. компонентов с $v_6=0$ и 2 второго возбужденного состояния колебания v_6 . Определены значения вращательных и квартичных центробежных постоянных, постоянных l -удвоения, l -резонанса и вращательной зависимости кориолисова взаимодействия, а также постоянной ангармоничности $x_{ll}=16,134$ ГГц. Близость полученных значений центробежных постоянных состояний $v_6=1$ ($l=1$) и $v_6=2$ ($l=2$) свидетельствует об изолированном характере состояния $v_6=2$ ($l=2$). М. Р. Алиев

III-1;

Ф. 1982, 18, № 2.

OPF_3

Dm. 15253

1982

6 Б205. Перенос атомов кислорода в низкотемпературных матрицах. I. Образование и характеристизация изолированных в матрице OMF_3 ($M=P$, As). Oxygen atom transfer in low-temperature matrices. I. Formation and characterization of matrix-isolated OMF_3 ($M=P$, As). Downs Anthony J., Gaskill Geoffrey P., Saville Simon B. «Inorg. Chem.», 1982, 21, № 9, 3385—3393 (англ.)

Измерены ИК-спектры продуктов, образующихся в матрице при взаимодействии атомарного кислорода с трифтормидаами фосфора и мышьяка. Матрицы состава Ar , $Kr(O_3)PF_3=2000:20:1$ и Ar , $Kr(O_3)AsF_3=5000:50:1$ подвергались УФ-фотолизу в течение 10—30 мин. ($T=20$ K). После этого в спектре появлялись новые полосы, отнесенные к молекулам OPF_3 и $OAsF_3$ ($^{16,18}O$). Значения частот колебаний (см^{-1}): $^{16}OPF_3 (Ar=$

(45)

X.1983, 19, N6

A.
нове

$OAsF_3$

OVF_3 , $OPCl_3$, $OAsCl$

OVCl3

=матрица) — $v_1(A_1) = 1410,3$, $v_4(E) = 989,9$, $v_2(A_1) = 873,9$, $v_3(A_1) = 482,1$, $v_5(E) = 471,3$, $v_6(E) = 329,0$ (v_5 и v_6 — сильно взаимодействующие друг с другом колебания δ и ρ группы PF_3). Полученные результаты хорошо согласуются с данными по спектру КР газообразного $^{16}OPF_3$. Для молекулы $OAsF_3$ колебательный спектр получен впервые. Значения частот колебаний (см^{-1}): $^{16}OAsF_3$ (Ar) — $v_1 = 1045,5$, $v_4 = 774,3$, $v_2 = 752,5$, $v_3 = 333,4$, $v_5 = 306,8$. Выполнен анализ нормальных координат молекул и изотопич. сдвигов полос по кислороду. Для молекул OMX_3 ($M=P, As, V$; $X=F, Cl$) приведена схема положения и относит. интенсивности полос в ИК-спектрах в области $100-1500 \text{ см}^{-1}$. Вычислены приведенные по симметрии силовые постоянные (F_{ij}) молекул, а также силовые постоянные валентно-силового поля (f). Значения силовых постоянных: OPF_3 — $F_{11} = 1102,020$, $F_{12} = 16$, $F_{22} = 761,302$, $F_{44} = 574,777$ (n/m); $F_{13} = 25$, $F_{23} = 68$, $F_{45} = -36$, $F_{46} = -80$ (n/rad); $F_{33} = 142,91$, $F_{55} = 142,804$, $F_{56} = -23$, $F_{66} = 122,516$ ($\text{n} \cdot \text{m/rad}^2$); $f_D = 1102$, $f_d = 637$, $f_{dd} = 62$, $f_{dD} = 9$, $f_\alpha - f_{\alpha\alpha} = 53$, $f_\beta - f_{\beta\beta} = 65$; $OAsF_3$ — $F_{11} = 857,018$, $F_{22} = 555,535$, $F_{44} = 510,364$, $F_{13} = -80$, $F_{33} = 98,362$, $F_{55} = 112,035$, $F_{66} = 75,089$ (остальные F_{ij} равны 0); $f_D = 857$, $f_d = 525$, $f_{dd} = 15$, $f_{dD} = 0$, $f_\alpha - f_{\alpha\alpha} = 42$, $f_\beta - f_{\beta\beta} = 27$. Сопоставляются валентные силовые постоянные $M-O$ и $M-X$ в различных молекулах и ионах ($M=P, V, As, Se, Br$; $X=F, Cl$). На основании сравнения интенсивности ИК-полос поглощения фундаментальных вал. кол. молекул MF_3 ($M=N, P, As, Sb$) и OMF_3 ($M=P, As$), изолированных в матрице оценены валентные углы. Для $OAsF_3 < FAsF = 98 \pm 5^\circ$.

В. М. Ковба

OPF₃

Omnuck 15253 1982

97: 100896t Oxygen atom transfer in low-temperature matrixes. I. Formation and characterization of matrix-isolated OMF₃ (M = P, As). Downs, Anthony J.; Gaskill, Geoffrey P.; Saville, Simon B. (Dep. Inorg. Chem., Univ. Oxford, Oxford, UK OX1 3QR). *Inorg. Chem.* 1982, 21(9), 3385-93 (Eng). UV photolysis of O₃ isolated in a noble-gas matrix in the presence of the trifluoride MF₃ (M = P, As) results in the formation of the corresponding trifluoride oxide, OMF₃. The intensities and frequencies of the IR absorptions due to the ¹⁶O- and ¹⁸O-substituted versions of the hitherto unknown mol. OAsF₃ are consistent with the expected C_{3v} symmetry. The vibrational spectra were analyzed for information about the bonding in OAsF₃, and an attempt was made to est. the bond angles on the basis of the intensities in IR absorption of the bond-stretching fundamentals.

UK - Chekmp
6

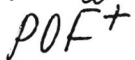
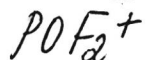
sample

(A) 12

OAsF₃

C.A. 1982, 97, N 12

1982



(A.P. Ионов)

дс. 1983, 15,
N 10

10 Б149. Ионизация и фрагментация оксифторида фосфора под действием электронного удара. Ionization and fragmentation of phosphorous oxyfluoride by electron impact. Neskovic O., Miletic M., Veljkovic M., Golobocantin D., Zmbov K. F. «Int. J. Mass Spectrom. and Ion Phys.», 1983, 47: Mass Spectrom. Adv., 1982. Proc. 9 Int. Mass Spectrom. Conf., Vienna, Aug. 30—Sept. 3, 1982. Part C, 141—144 (англ.)

На магнитном масс-спектрометре с ионным источником типа Нира исследована диссоциативная ионизация молекул POF_3 под действием электронного удара. Источником POF_3 служила эффузионная ячейка со смесью VP, AgF и Ag_2O . Кривые эффективности ионизации (КЭИ) после накопления и сглаживания были подвергнуты процедуре деконволюции, что позволило получить тонкую структуру КЭИ. Измерены потенциалы появления ионов POF_3^+ ($13,34 \pm 0,1$ эВ), POF_2^+ ($11,69 \pm 0,1$ эВ) и POF^+ ($13,53 \pm 0,1$ эВ) из молекулы POF_3 . На основе изучения ТС КЭИ определены возможные процессы, приводящие к образованию перечисленных ионов. Исследовано образование фрагментного иона F^- .

Д. В. Чеховской

OPF_3^+
 (2)

Jom. 16728/ 1983

PF_3^+
 (2)

Collyer S. et al., Electrochimica Acta
T.B.,

Ae;

Z. Phys. Chem., 1983,
87, N6, 909-911.

C

OPF_3

1983

Dhanalakshmi A.,
Kamala P.

Cu.:
recd. Bull. cl. sci. Acad. Roy.
Belg., 1983, 69, N2, 110-
-116.

(Cu. CHF_3 ; III)

PF₃O

1983

Dhanalakshmi A.,
Kamala P.

Bull. Cl. Sci. Acad. Roy.
Belg., 1983, 69, N^o 2, 110-116.

(cu. CF₃H; III)

OPF_3 1983

Eyermann C. J., Jolly
W. L., et al.

(γ , pacreei) J. Fluorine Chem.,
1983, 23(4), 389-97.

(crys. ONF_3 ; II)

POF_3

1983

Neskovice Olivera,
Miletic Miodrag., et al.

J. Chem. Soc. Faraday
Trans., 1983, PT2, 79, NG,
1341-1346.

(cuv. POF_3 ; III)

PO_3F^{2-}

10m · 22242

1984

clad. noem.,
pacrem.

Chopra J.R., Pandey A.N.,
Indian J. Phys., 1984,
B58, N 4-5, 376-383.

PF₃O OM - 22242) 1984

Chopra T. R., Pandey A. N.,

Electrochem.,
pacrem.

Indian J. Phys., 1984,
B58, N 4-5, 376-383.

F_3 PO

1985

Алексеенко А.Н., Горячков В.В.
4 гр.

Тез. докт. 8 Всеес. Конф. по

Электрон. Испытание фосфоророгат. соедин.,
смеським. посвящ. 80-летию реакции
A.E. Арбузова, Казань, 13-16
ноябрь, 1985. У.И. Казань, 1985,
117.

(см. H_3PO ; III)

POF₃

1985

6 Л181. Анализ полученного на фурье-спектрометре спектра PF_5 вблизи 946 см^{-1} . Analysis of the Fourier transform spectrum of PF_5 around 946 cm^{-1} . Bordé J., Dana V., Henry L., Valentin A. «J. Mol. Spectrosc.», 1985, 114, № 1, 42—48 (англ.)

Получены спектры ИК-поглощения газообразного PF_5 в области $930—960 \text{ см}^{-1}$ с разрешением $1,6 \cdot 10^{-3} \text{ см}^{-1}$, ограниченным доплеровским контуром, при давл. $0,5 \text{ мм рт. ст.}$ Зарегистрировано ~ 1000 линий, отнесенных к колебательно-вращательным переходам в полосах ν_3 и $\nu_3 + \nu_7 - \nu_3$ до $J=77$ и $K=48$ в основной полосе и до $J=43$ и $K=20$ в «горячей» полосе. Измерены частоты линий с точностью $2 \cdot 10^{-4} \text{ см}^{-1}$. Определены вращательная постоянная B и центробежные константы в основном и возбужденных колебательных состояниях. Найденные константы позволяют рассчитывать частоты линий с точностью не хуже 10^{-3} см^{-1} . Наблюдены линии полос POF_3 , возникающего при гидролизе PF_5 .

М. В. Т.

cb. 1986, 18, N6

PF₅

F_3PO

1985

Schmidt M. W.,
Gordon M. S.

Zelotempus,
empyrumata

J. Amer. Chem. Soc., 1985,
107, N⁷, 1922 - 1930.

• (c.u. H_3PO ; III)

OPF₃

1985

9 Д77. Вращательная энергия молекул типа квазисферического волчка с симметрией C_{3v} : применение к молекулам $^{16}\text{OPF}_3$ и PH_3 . Ground state rotational energies of C_{3v} quasi-spherical top molecules: applications to $^{16}\text{OPF}_3$ and PH_3 . Tagago G., Nhu M. Dans. «J. Mol. Spectrosc.», 1985, 111, № 2, 425—439 (англ.)

Рассчитаны энергии вращательных уровней молекул типа симметричного волчка с малой разностью вращательных постоянных $A_0 - B_0$ или $C_0 - B_0$ (квазисферич. волчки) с учетом поправок квартичного, секстичного и октического центробежного искажения без привлечения теории возмущений (или вращательных контактных преобразований). Построена матрица вращательной энергии, включающая недиагональные элементы с $\Delta K = \pm 3$ и ± 6 , которая применена к расчету вращательных спектров молекул OPF_3 и PH_3 . Из частот 346 вращательных переходов молекулы OPF_3 (включая 152 «запрещенных» перехода с $\Delta K = \pm 3$) и 75 переходов молекулы PH_3 (включая 58 «запрещенных» переходов) определены значения вращательных и центробежных постоянных этих молекул.

М. Р. Алиев

и.п.

(7)

ф. 1986, 18, № 9

OPF₃

1985

18 Б1302. Вращательная энергия основного колебательного состояния молекул типа квазисферического волчка с симметрией C_{3v} . Применение к молекулам $^{16}\text{OPF}_3$ и PH_3 . Groud state rotational energies of C_{3v} quasi-spherical top molecules: applications to $^{16}\text{OPF}_3$ and PH_3 . Tagago G., Nhu M. D. «J. Mol. Spectrosc.», 1985, 111, № 2, 425—439 (англ.)

Проведен теор. анализ вращат. спектров основного колебат. состояния молекул PH_3 и OPF_3 с малыми значениями разности вращат. постоянных $A_0 - B_0$. При анализе использована полная матрица вращат. энергии, в к-рой учитываются недиагональные элементы с $\Delta K = \pm 3$ и ± 6 , и частоты разрешенных вращат. переходов с $\Delta K = 0$ и «запрещенных» вращат. переходов с $\Delta K = \pm 3$, разрешаемых за счет центробежного искажения. Из частот 152 «запрещенных» и 194 разрешенных переходов OPF_3 и 58 «запрещенных» и 17 разрешенных переходов PH_3 определены значения вращат. постоянных и постоянных квартичного и секстичного центробежного искажения этих молекул.

Е. В. Алиева

(4)

X. 1986, 19, N 18

OPF₃

Om. 23530

1985

102: 228534n Ground state rotational energies of C_{3v} quasi-spherical top molecules: applications to ¹⁶O-phosphoryl fluoride (¹⁶OPF₃) and phosphine. Tarrago, G.; Dang Nhu Mai (Lab. Infrarouge, Univ. Paris-Sud, 91405 Orsay, Fr.). *J. Mol. Spectrosc.* 1985, 111(2), 425-39 (Eng). Rotational spectra of the quasi-spherical sym. mols., ¹⁶OPF₃ and PH₃, were analyzed with all the data currently available. In both cases, the current formulation that uses rotational contact transformations to completely diagonalize the ground state energy matrix appears to be inadequate, due to the smallness of the quantity |A₀ - B₀|. This quantity represents only 5% of A₀ or B₀ in the case of OPF₃ and 11% in the case of PH₃. Thus, both analyses require the resonance terms in $\Delta K = \pm 3$ and/or $\Delta K = \pm 6$ to be taken into account through diagonalization of the energy matrix. The ground state parameters as well as the ground state energies are given for both mols.

*transferred
checklist, M.N.*

c.A. 1985, 102, n26

POF_3

1986

14 Б1156. Сравнение электронного строения аналогов VOHal_3 и POHal_3 ($\text{Hal}=\text{F}, \text{Cl}, \text{Br}$) с помощью фотоэлектронной спектроскопии и расчетов методом $X\alpha$ с самосогласованием по зарядам. Comparison of the electronic structures of VOHal_3 and POHal_3 analogues ($\text{Hal}=\text{F}, \text{Cl}, \text{Br}$) by UPS and SCC- $X\alpha$ calculations. Elbel Susanne, Kudnig Jens, Rünger Gerda, Grodzicki Michael. «J. Electron Spectrosc. and Relat. Phenom.», 1986, 37, № 4, 329—339 (англ.)

9, структура
Полуэмпирическим $X\alpha$ -методом с самосогласованием по зарядам ($X\alpha$ -CC3) рассчитано электронное строение соединений POHal_3 и VOHal_3 ($\text{Hal}=\text{F}, \text{Cl}, \text{Br}$). С возбуждением Не-I измерен фотоэлектронный спектр VOBr_3 (для остальных исследованных соединений известны лит. спектры). Проведен сравнив. анализ потенциалов ионизации, волновых ф-ций и электронных

(+5)

↗

X·1986, 19, N14



POCl_3 , POBr_3 ,
 VOF_3 , VOCl_3 , VOBr_3

плотностей в рядах исследованных аналогов. Установлено, что в результате слабого обр. донирования акцепторы O в POHal_3 сильнее отрицательно заряжены, чем в VOHal_3 . Заряды центральных атомов и лигандов Hal уменьшаются при замещении $\text{F} \rightarrow \text{Cl} \rightarrow \text{Br}$. Заселенности перекрывания в соединениях V меньше, чем в аналогичных соединениях P. Заселенности перекрывания уменьшаются также в обоих рядах с ростом молек. массы соединения.

И. А. Тополь

OPF_3

1987

16 Б1241. Сверхтонкая структура в микроволновом спектре оксида и сульфида трифтторфосфина. Hyperfine structure in the microwave spectrum of trifluorophosphine oxide and sulfide. Bittner E. R., Matos J., Hilling K. W., II, Kuczkowski R. L. «Z. Naturforsch.», 1987, A42, № 12, 1415—1417 (англ.)

На микроволновом (МВ) фурье-спектрометре с импульсным соплом в обл. частот 8—17,5 ГГц с разрешением около 25 кГц и точностью около 4 кГц измерены вращат. спектры оксида трифтторфосфина, $^{17}\text{OPF}_3$ (I), и трифтторфосфинсульфида, $^{33}\text{SPF}_3$ (II), в основном колебат. состоянии. Из анализа МВ-спектров для I и II, соотв., определены эфф. значения вращат. постоянных $B = 4491,420(2)$, и $2617,766(2)$ МГц и постоянных квадрупольного взаимодействия $eqQ = -3,717(20)$ и $-29,924(10)$ МГц. Полученные МВ-результаты для II согласуются с ранее выполненными измерениями. Для ^{17}O -ядерного квадрупольного взаимодействия в I с использованием модели Таунса—Дейли оценена роль π- и σ-связи кислорода с фосфором.

С. Н. Мурзин

ll.1.

(71)

X

X. 1988, 19, N 16

POF_3

(Om. 27510)

1987

ЗЛ218. Анализ полосы ν_4 молекул POF_3 . Analyse de la bande ν_4 de POF_3 . Dана V., Henry L., Valentin A. «J. phys.» (FR), 1987, 48, № 7, 1135—1140 (фр.; рез. англ.)

С помощью фурье-спектрометра с разрешением 10^{-3} см^{-1} исследованы спектры поглощения молекул POF_3 в газовой фазе, в области колебательно-вращательной полосы ν_4 . В дополнение к существовавшим ранее данным определено 9 молекулярных постоянных для возбужденного колебательного состояния. Полученные значения позволяют воспроизвести частоты 1200 линий исследованной полосы со среднеквадратичным отклонением $2 \cdot 10^{-4} \text{ см}^{-1}$

К. Э. М.

Ф. 1988, 18, № 3.

POF_3

(On. 27510) 1987

4 Б1315. Анализ полосы ν_4 POF_3 . Analyse de la bande ν_4 de POF_3 . Dana V., Henry L., Valentin A. «J. Phys.» (Fr), 1987, 48, № 7, 1135—1140 (фр.; рез. англ.)

С высоким разрешением (лучше 10^{-3} см $^{-1}$, фурье-спектрометр) измерена вращат. структура полосы ν_4 (полоса перпендикулярного типа) в ИК-спектре поглощения молекулы POF_3 . При анализе использовались значения молек. постоянных основного состояния, полученные из микроволнового спектра. Начало полосы при 992,97301 см $^{-1}$. Значения B' , A' , $\xi_t A'$, D_J' , D_{JK}' , D'_K , η^J , и $|q_{12}^t|$ равны, соотв., 0,15292798; 0,16020848; $8,10209 \cdot 10^{-2}$; $3,355 \cdot 10^{-8}$; $4,282 \cdot 10^{-8}$; $-3,704 \cdot 10^{-8}$; $1,32 \cdot 10^{-7}$ и $4,24 \cdot 10^{-5}$ см $^{-1}$.

В. М. Ковба

М.Н.

X. 1988, 19, N 4

F_3PO

1988

Schreider W.,
Thiel W. et al.

J. Phys. Chem. 1988.

Cleel.
noce,
Kooledean.
Crekmpor

92, N₂₀. C. 5611 -
- 5619.



(ess. H_3PO ; III)

DPF₃ Styger C., et al., 1989

Centrifugally Induced
spectra of the symmetric
Top Molecules Cyclopropane
and Phosphoryl Trifluoide....

Eleventh Colloquium On
High Resolution Molecular
B2

spectroscopy, Giessen,
September 18-22, 1989,
A1, B2.

OPF_3

1992

4 Б1208. Наблюдение запрещенной вращательной Q-ветви, OPF_3 при помощи микроволновой фурье-спектроскопии. *Forbidden rotational Q branch of OPF_3 observed by microwave fourier transform spectroscopy /Styger C., Ozier I., Bauder A. //J. Mol. Spectrosc. .—1992 .—153 ,№ 1—2 .—С. 101—116 .—Англ.*

На микроволновом фурье-спектрометре с волноводной ячейкой в области частот 8—26 ГГц измерен чисто вращат. спектр OPF_3 , слабо разрешенный за счет эффекта центробежного искажения. Построена теория запрещенного вращат. спектра, выполнена полная идентификация переходов и определены спектроскопич. постоянные для основного колебат. состояния.

С. Н. Мурзин

X. 1995, N 4

OPF₃

1998

Neville, John F; et al.;

(creep) Chem. Phys. 1998;
238 (2), 201-220

(all. PF₅; III)